

# Konstruktion

Zeitschrift für Produktentwicklung und Ingenieur-Werkstoffe

**Fachaufsatz** Festigkeitslehre

Bei diesem Beitrag handelt es sich um einen wissenschaftlich begutachteten und freigegebenen (peer reviewed) Fachaufsatz.

J. Kunz

## Festigkeitsbedingung bei schwingender Belastung mit Kerbwirkung

### *Strength Conditions at Oscillating Load with Notch Effect*

**Inhalt:** Die Erfassung der Kerbwirkung bei der Auslegung von Bauteilen unter schwingender Belastung wird kritisch betrachtet, und zwar hinsichtlich der unterschiedlichen Bedeutung von Formzahl und Kerbwirkungszahl. Während die Formzahl für die im Kerbquerschnitt auftretende Spannungsüberhöhung maßgebend ist, bemisst die Kerbwirkungszahl die Reduktion der Schwingfestigkeitsamplitude infolge Kerbwirkung. Mit den gewonnenen Erkenntnissen werden die Festigkeitsbedingungen so formuliert, dass sie mit den Gesetzen der Mechanik im Einklang sind.

**Abstract:** *Determination of notch effect when dimensioning structural elements under oscillating loads is critically discussed in view of the differing significance of stress concentration factor vs. fatigue notch factor. While the stress concentration factor is decisive for the excessive stress in the notched cross section, the fatigue notch factor measures the reduction of fatigue strength amplitude due to notch effect. With the findings obtained, strength conditions are reformulated to be in line with the laws of mechanics.*

#### 1 Einleitung

Die Auslegung von Bauteilen, die schwingend belastet werden, ist eine vielschichtige Aufgabe. Sie beinhaltet zur Hauptsache die Charakterisierung von Art und Größen der Belastungsschwingung, das Lokalisieren versagenskritischer Stellen, das Festlegen der relevanten Versagenskriterien, die Einschätzung der Umgebungs- und Betriebsbedingungen, die Beurteilung

und quantitative Konkretisierung des zu erwartenden Werkstoffverhaltens und der darauf einwirkenden Einflussgrößen, Überlegungen zu Sicherheit und Lebensdauer, sowie nicht zuletzt die Wahl eines geeigneten Auslegungskonzeptes.

Als potentielle Bauteil-Schwachstellen erweisen sich häufig ausgeprägte Unstetigkeiten im Querschnittsverlauf. Dies verlangt eine entsprechend sorgfältige Auseinandersetzung mit ihrem Einfluss auf Spannungsverteilung und Werkstoffverhalten, subsumiert unter dem Begriff Kerbwirkung.

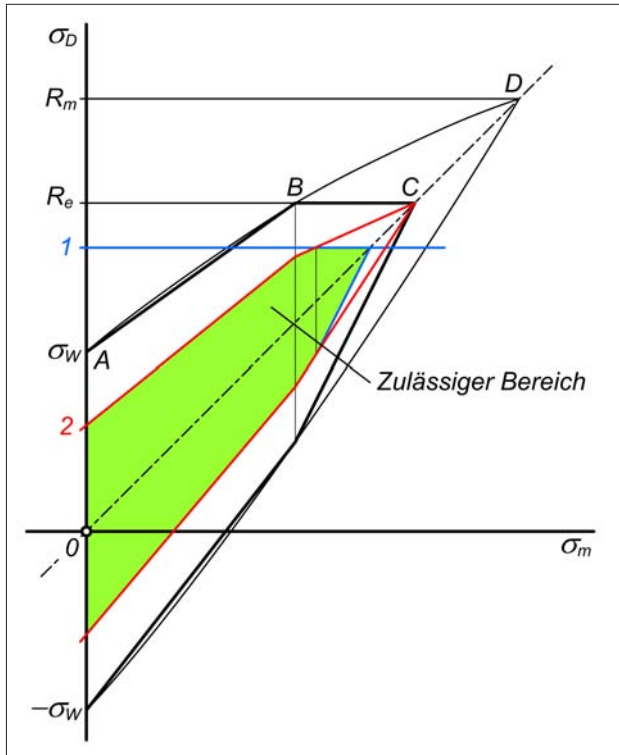
#### 2 Rechnerischer Festigkeitsnachweis

Für den rechnerischen Nachweis der Dauer- oder Betriebsfestigkeit von Bauteilen haben sich unterschiedliche Vorgehensweisen etabliert [1–3], z. B. nach der FKM-Richtlinie „Rechnerischer Festigkeitsnachweis für Maschinen-

bauteile“ [4] oder nach der für Wellen und Achsen aus Stahl geltenden DIN 743 [5]. Das sog. Nennspannungskonzept geht von den Nennspannungen aus, die im versagenskritischen Querschnitt herrschen. Spannungskonzentrationen an Querschnittsprüngen wie Kerben werden dabei dadurch berücksichtigt, dass zulässige Nennspannungen anhand einfacher Kerbstäbe vergleichbarer Kerbgeometrie ermittelt werden. Im Gegensatz dazu werden nach dem sog. örtlichen Konzept oder Kerbspannungskonzept die im Kerbgrund auftretenden Spannungen betrachtet, wie sie etwa aus einer linear-elastischen Finite-Element-Analyse hervorgehen, und die mit den zugehörigen Nennspannungen über die Formzahl  $\alpha_K$  zusammenhängen [6]. Alternativ zum Nachweis mittels Spannungen kann ein solcher auch über die Dehnungen erfolgen, was speziell bei Auftreten plastischer Verformungsanteile zweckmäßig ist.

#### Autor

Prof. Dipl.-Ing. Johannes Kunz  
Institut für Werkstofftechnik und Kunststoffverarbeitung (IWK)  
HSR Hochschule für Technik Rapperswil  
Oberseestraße 10  
8640 Rapperswil/CH  
E-Mail: jkunz@hsr.ch  
www.iwk.hsr.ch



**Bild 1**  
Schwingfestigkeitsdiagramm nach Smith (schematisch) mit Versagensgrenzlinien und zulässigem Bereich  
1: Begrenzung gemäß Festigkeitsbedingung für die Maximalspannung  
2: Begrenzung gemäß Festigkeitsbedingung für die Spannungsamplitude

die horizontale Grenzlinie B-C bzw. den Punkt D, Bedingung (2) auf den vertikalen Abstand zwischen dem Linienzug A-B-C bzw. A-B-D und der Winkelhalbierenden im ersten Quadranten des Koordinatensystems. Ausschlaggebend ist selbstverständlich jeweils die strengere der beiden Bedingungen.

Bei ausreichend kleiner Mittelspannung  $\sigma_{m,max} \ll \sigma_{a,max}$  oder bei wechselnder Belastung ist mit der Bedingung (2) die Bedingung (1) in der Regel automatisch erfüllt, da erfahrungsgemäß die Wechselfestigkeit im Bereich  $\sigma_w \approx (0,3 \div 0,5) \cdot R_m$  liegt. Trotzdem empfiehlt sich eine Überprüfung der Spannungsschwingung auch nach der Bedingung (1), um über die rechnerische Sicherheit  $S_G$  im Klaren zu sein.

Der für einachsige Spannungszustände geltende Ansatz (1) und (2) lässt sich – unter Verwendung geeigneter Festigkeitshypothesen [8 u.a.] – auch für die Beurteilung mehrachsiger Spannungszustände bei schwingender Belastung beziehen.

Die sachgerechte Berücksichtigung dieser Kerbwirkung bei der Bauteilauslegung und die Förderung des Verständnisses für die Zusammenhänge sind Gegenstand des vorliegenden Berichtes.

### 3 Kerbwirkung bei schwingender Belastung

Besagter Ansatz geht davon aus, dass durch die Kerbwirkung die Mittelspannung  $\sigma_m$  als statischer Belastungsanteil gegenüber der Nennspannung  $\sigma_{m,n}$  entsprechend der Formzahl  $\alpha_K$  überhöht wird (Bild 2). Das ergibt als maximale Mittelspannung

$$\sigma_{m,max} = \alpha_K \cdot \sigma_{m,n} \quad (3)$$

Grundlage dieser Theorien ist der Berechnungsansatz mit zwei gleichzeitig zu erfüllenden Festigkeitsbedingungen [7]. Die eine Bedingung limitiert die auftretende Maximalspannung

$$\sigma_{max} = \sigma_{m,max} + \sigma_{a,max} \leq \sigma_{zul} = \sigma_G \cdot \frac{C_G}{S_G} \quad (1)$$

also die Summe der im Kerbgrund auftretenden Spitzen von Mittelspannung  $\sigma_{m,max}$  und Spannungsamplitude  $\sigma_{a,max}$ , zwecks Ausschluss eines statischen Versagens. Mit der Bedingung

$$\sigma_{a,max} \leq \sigma_{a,zul} = \sigma_A(\sigma_{m,max}) \cdot \frac{C_D}{S_D} \quad (2)$$

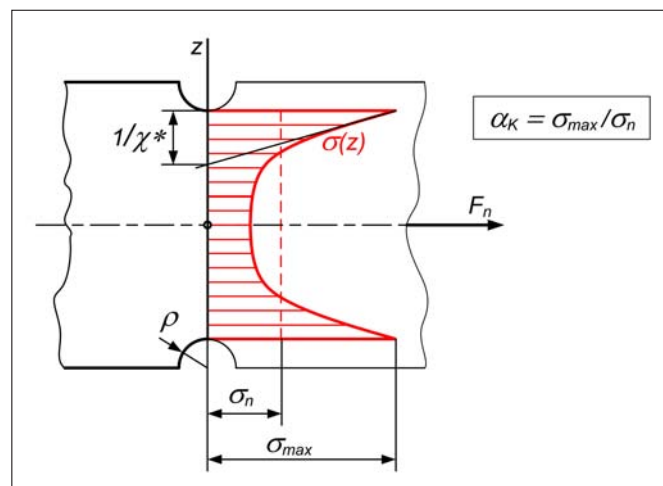
welche den Höchstwert der Spannungsamplitude  $\sigma_{a,max}$  als um  $\sigma_{m,max}$  wechselndem Belastungsanteil begrenzt, soll das Zeit- oder Dauer-schwingversagen vermieden werden.

In diesen Bedingungen (1) und (2) werden die Maximalspannung  $\sigma_{max}$  und die Spannungsamplitude  $\sigma_{a,max}$  im Kerbgrund den entsprechenden zulässigen Spannungen  $\sigma_{zul}$  bzw.  $\sigma_{a,zul}$  gegenübergestellt, in denen die für das jeweilige Versagenskriterium maßgebenden Spannungs-Grenzwerte  $\sigma_G$  und  $\sigma_A$  mit den relevanten Einflussfaktoren  $C_G$  bzw.  $C_D$  einschließlich jener für die Kerbwirkung und den zugehörigen Sicherheitsfaktoren  $S_G$  bzw.  $S_D$  verrechnet werden. Als Grenzwert  $\sigma_G$  für statisches Versagen kommen je nach Werkstoffverhalten und zu erwartender Versagensart die Streckgrenze  $R_e(\sigma_s)$ , die 0,2 %-Dehngrenze  $R_{p0,2}(\sigma_{0,2})$

oder die Bruchfestigkeit  $R_m(\sigma_B)$  zur Anwendung.

Löst man die Festigkeitsbedingungen (1) und (2) nach den Spannungsgrenzwerten auf, erhält man eine Anforderung für die Werkstoffwahl. Bei Auflösung nach der in den Maximalspannungen enthaltenen Querschnittsgrößen ergeben sich Bedingungen für die Bauteildimensionierung, und durch Auflösung nach den Sicherheitsfaktoren lässt sich – unter Benutzung der Gleichheitszeichen – der Sicherheitsnachweis führen.

Die beiden Bedingungen finden ihre Entsprechung im Schwingfestigkeitsdiagramm nach Smith (Bild 1), das die Schwingfestigkeit  $\sigma_D = \sigma_m \pm \sigma_A$  in Abhängigkeit der Mittelspannung  $\sigma_m$  zeigt. Bedingung (1) bezieht sich auf



**Bild 2**  
Spannungsverteilung im Kerbquerschnitt mit Definition der Formzahl  $\alpha_K$  und spezifischem Spannungsgefälle  $\chi^*$

Bekanntlich ist diese Formzahl  $\alpha_K$  – wie der Name sagt – bei linear-elastischem Materialverhalten nur von Formparametern wie Geometrie und Größe von Bauteil und Kerbe sowie der Beanspruchungsart (Zug/Druck, Biegung, Torsion) abhängig, nicht aber vom Werkstoff.

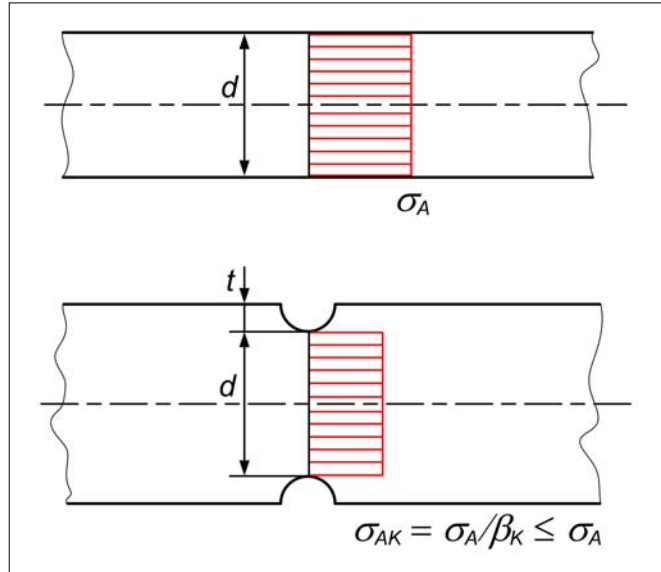
Zur Bestimmung der maximalen Spannungsamplitude  $\sigma_{a,max}$  im Kerbgrund als schwingender bzw. präziser als wechselnder Belastungsanteil wird auch etwa argumentiert, dass sich die Kerbgeometrie auf die maximale Spannungsamplitude nicht im selben Maße auswirke wie es die Spannungsüberhöhung mit der Formzahl  $\alpha_K$  vermuten lasse, sondern nur mit der Kerbwirkungszahl  $\beta_K$ . Somit gelte für die „effektive“ Spannungsspitze  $\sigma_{a,max} = \beta_K \cdot \sigma_{a,n}$  [7, 9]. Diese Aussage verdient eine genauere Betrachtung.

Die Kerbwirkungszahl

$$\beta_K = \frac{\sigma_A}{\sigma_{AK}} \quad (4)$$

ist per Definition das Verhältnis der Schwingfestigkeitsamplituden  $\sigma_A$  des ungekerbten und  $\sigma_{AK}$  des gekerbten Bauteils gleicher Querschnittsabmessungen, gemessen unter sonst gleichen Bedingungen (Bild 3). Dabei ist zu beachten, dass es sich bei  $\sigma_{AK}$  um einen Nennspannungswert im Kerbquerschnitt handelt.

Die Kerbwirkungszahl ist somit eine aus dem Dauerschwingversuch hervorgehende Werkstoffkenngröße (Bild 4), die zwar einerseits von der Bauteil- und



**Bild 3**

Vergleichbare Probekörper zur Ermittlung der Schwingfestigkeitsamplituden  $\sigma_A$  und  $\sigma_{AK}$  (Nennspannungen) ohne bzw. mit Kerbwirkung (schematisch)

Kerbgeometrie abhängt, andererseits aber maßgeblich von der Kerbempfindlichkeit des Werkstoffs bestimmt wird, und durch die Relation

$$1 \leq \beta_K \leq \alpha_K \quad (5)$$

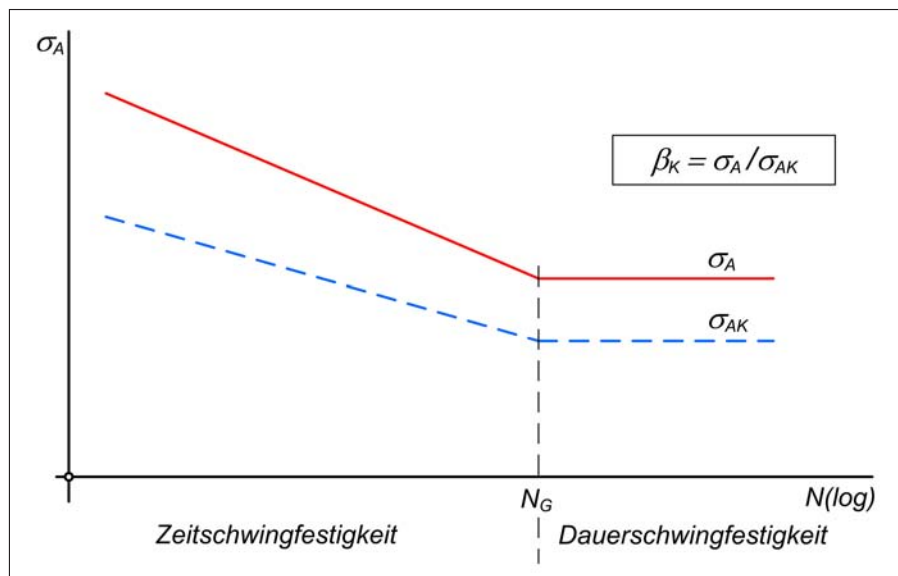
gegenüber der Formzahl  $\alpha_K$  abgegrenzt wird. Die untere Grenze repräsentiert ideal kerbunempfindliches Werkstoffverhalten, die obere Grenze dagegen extrem kerbempfindliches Verhalten, wie es vor allem bei spröden Werkstoffen beobachtet wird. Der Unterschied zwischen der Kerbwirkungszahl und der Formzahl wird umso größer, je kleiner der Kerbgrundradius ist. Die Kerbwirkungszahl  $\beta_K$  ist also kein Maß für die Überhöhung der Nenn-

spannungsamplitude  $\sigma_m$  im Kerbgrund. Sie hat vielmehr den Charakter eines Einflussfaktors auf die Schwingfestigkeitsamplitude und ist konsequenterweise in den Faktor  $C$  der Festigkeitsbedingungen (1) und (2) einzurechnen.

Dass die Kerbwirkungszahl  $\beta_K$  kein Maß für die Spannungsüberhöhung der Schwingungsamplitude darstellen kann, zeigt sich auch bei der Bestimmung der Spannungsverteilung in einem Kerbquerschnitt mittels der Finite Elemente Methode (FEM). Die linear-elastische FEM-Analyse liefert bei hinreichend guter Modellbildung Spannungsspitzen in einer Höhe, die der mit der Formzahl  $\alpha_K$  überhöhten Nennspannung entsprechen, und dies unabhängig davon, ob es sich um die Mittelspannung  $\sigma_m$ , die Spannungsamplitude  $\sigma_a$ , die Ober- oder die Unterspannung  $\sigma_u$  handelt. Allfällige Effekte der plastischen Verformung im Kerbgrund mit entsprechender Abweichung vom linear-elastischen Verhalten ändern an dieser Tatsache nichts und sind in diesem Zusammenhang auch nicht Gegenstand der Diskussion.

Die Spannungsverteilung in einem Bauteilquerschnitt hat in ihrer Gesamtheit stets der im Querschnitt auftretenden Beanspruchung zu entsprechen, also den Äquivalenzbeziehungen zwischen Spannungsverteilung und Beanspruchung zu genügen (Bild 2). Diese lautet im einfachen Fall einer Beanspruchung durch eine Normalkraft  $F_n$

$$F_n = \int_A \sigma(z) \cdot dA \quad (6)$$



**Bild 4**

Wöhlerdiagramm mit Zeit- und Dauerschwingfestigkeitskurven für ungekerbte und vergleichbare gekerbte Prüfkörper (schematisch) und Definition der Kerbwirkungszahl  $\beta_K$





die verschiedensten Einwirkungen, welche den Spannungs-Grenzwert  $\sigma_G$  bzw. die Schwingfestigkeitsamplitude  $\sigma_A$  bzw.  $\sigma_{AK}$  des Werkstoffs gegenüber dem an der an der Normprobe gemessenen Wert herabsetzen, also die Einflüsse von Beanspruchungsart, Temperatur, Oberflächenbeschaffenheit, Wärmebehandlung, Gefügezustand, Eigenspannungen, Bauteilgröße, Querschnittsform usw. Für die Bezifferung dieser Einflussfaktoren, die in umfangreichen Versuchen empirisch ermittelt werden, kann der Anwender auf die einschlägige Literatur (z. B. [1, 2, 5-Teil 2]) zurückgreifen.

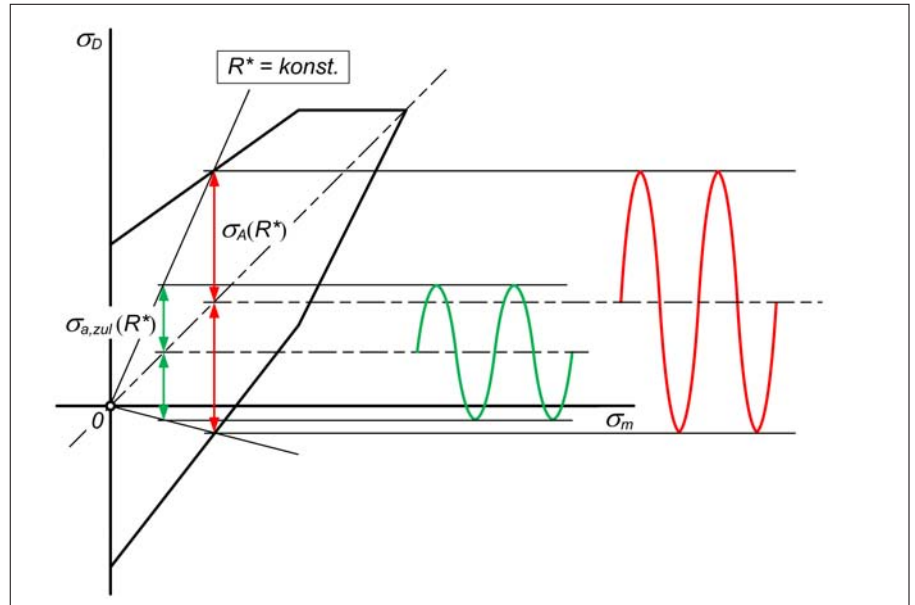
Wenn etwa postuliert wird, dass bei ausreichender plastischer Verformbarkeit ein Erreichen oder Überschreiten der Streckgrenze im Kerbgrund unbedenklich sei, da keine Anrissgefahr bestehe [5-Teil1], würde dies bedeuten, dass mit Bedingung (8) keine rechnerische Sicherheit mehr belegt werden könnte. Eine solche Aussage ist problematisch und darf keinesfalls verallgemeinert werden. Anstelle von (8) müsste dann eine Bedingung gesetzt werden, die den tatsächlichen werkstofflichen Gegebenheiten hinreichend verlässlich Rechnung trägt.

## 5 Anwendung

Bei der praktischen Anwendung der Bedingungen (8) und (9) stehen – entsprechend der unterschiedlichen Gegebenheiten der äußeren Belastung – zwei Fälle im Vordergrund, wie sie auch in DIN 743-1 beschrieben sind [5-Teil1].

Ist die Belastungsschwingung durch eine vorgegebene Mittellast  $F_m$  und eine variierebare Lastamplitude  $F_a$  charakterisiert, z. B. bei Bauteilen mit Vorspannung, so lässt sich mit (3) der Spitzenwert  $\sigma_{m,max}$  der Mittelspannung berechnen. Deren Differenz zu  $\sigma_{zul}$  aus Bedingung (8) begrenzt den Höchstwert  $\sigma_{a,max}$  der Spannungsamplitude nach (7), um unzulässige Verformungen oder Gewaltbruch auszuschließen. Die andere Grenze für  $\sigma_{a,max}$  zur Vermeidung eines Dauerschwingversagens ist mit Bedingung (9) durch die zulässige Spannungsamplitude  $\sigma_{a,zul}$  gegeben, indirekt also unter Einrechnung von Einflüssen und Sicherheit durch die von  $\sigma_{m,max}$  abhängige ertragbare Spannungsamplitude  $\sigma_A(\sigma_{m,max})$  (Bild 6).

Im zweiten Fall ist das Verhältnis der Mittellast zur Maximallast als konstant vorgegeben. Somit liegt – unabhängig



**Bild 7**

Bestimmung der ertragbaren und der zulässigen Spannungsamplitude im Schwingfestigkeitsdiagramm bei vorgegebenem Spannungsverhältnis  $R^*$

von der Lasthöhe – als Zusatzbedingung auch ein konstantes Spannungsverhältnis  $R^* = \sigma_{m,max}/|\sigma|_{max}$  vor. Die zugehörige Gerade der Steigung  $1/R^*$  im Schwingfestigkeitsdiagramm bestimmt mit dem Schnittpunkt der oberen Schwingfestigkeitslinie (Bild 7) die maßgebende ertragbare Spannungsamplitude  $\sigma_A(R^*)$  für die Bedingung (9) und begrenzt mit dieser zugleich auch den im Kerbgrund auftretenden Höchstwert der Spannungsamplitude  $\sigma_{a,max}$ . Daraus ergibt sich aber auch die resultierende Maximalspannung  $\sigma_{max} = \sigma_{m,max} + \sigma_{a,max} = R^* \cdot \sigma_{m,max}$  für Bedingung (8). Zu den so zu behandelnden Fällen zählt mit  $R^* = 0,5$  insbesondere auch die schwelende Belastung.

## 6 Kerbempfindlichkeit

Der in (9) auftretende Quotient  $\alpha_K/\beta_K$  kann als ein Maß für die von der Kerbgeometrie abhängige Kerbempfindlichkeit des Werkstoffs und damit als ein Einflussfaktor verstanden werden, der sich je nach Ansatz für die Bestimmung der Kerbwirkungszahl  $\beta_K$  auch direkt in (10) einrechnen lässt. So ist bei der Definition nach Petersen [10] etwa

$$\frac{\alpha_K}{\beta_K} = \frac{1 + \sqrt{\rho^* \cdot \chi^*}}{1 + \sqrt{\rho^* \cdot \chi_0^*}} \quad (11)$$

worin rechterhand weder die Formzahl  $\alpha_K$  noch die Kerbwirkungszahl  $\beta_K$  auftauchen. Die Größe  $\rho^*$  ist der Radius

einer virtuellen, als Bohrung gedachten werkstoffeigenen „Ersatzkerbe“, mit der die Kerbempfindlichkeit des Werkstoffs erfasst wird;  $\chi^* = (1/\sigma_{max}) \cdot (d\sigma/dz)_{max}$  steht für das geometriebedingte spezifische Spannungsgefälle im Kerbgrund (Bild 2), und  $\chi_0^*$  für jenes, das aus der Art der Beanspruchung resultiert, z. B. bei Biegung oder Torsion.

Analog ergibt sich mit Verwendung der Stützziffer  $n_\chi$  nach Siebel et al. [11] zur Erfassung der sog. „dynamischen Stützwirkung“ der zu (11) ähnliche Ausdruck

$$\frac{\alpha_K}{\beta_K} = n_\chi = \frac{1 + \sqrt{s_g \cdot \chi^*}}{1 + \sqrt{s_g \cdot \chi_0^*}} \quad (12)$$

mit  $s_g$  als einer für den Dauerschwingbruch verantwortlichen „Gleitschichtbreite“.

Bei Verwendung der Kerbwirkungszahl  $\eta_K$  nach der Definition von Thum [12] wird das Verhältnis

$$\frac{\alpha_K}{\beta_K} = \frac{\alpha_K}{1 + \eta_K \cdot (\alpha_K - 1)} \quad (13)$$

welches rechts des Gleichheitszeichens sowohl die Formzahl  $\alpha_K$  als auch die Kerbempfindlichkeitszahl  $\eta_K$  enthält. Allerdings hat sich diese Thum'sche Kerbempfindlichkeitszahl nicht als reine Werkstoffkennzahl erwiesen, da sie von der Kerbgeometrie nicht ganz unabhängig ist. Dennoch kann der Quotient  $\alpha_K/\beta_K$  in Bedingung (9) auch aus dieser Sicht als Maß für die Kerbempfindlichkeit des Werkstoffs gelten, zu-

mindest in guter Näherung. Ähnliche Überlegungen können bei den weiteren bekannt gewordenen Ansätzen zur Bestimmung der Kerbwirkungszahl  $\beta_K$  oder zur Erfassung der Kerbempfindlichkeit angestellt werden.

### 7 Fazit

Mit der klaren Unterscheidung von Formzahl  $\alpha_K$  und Kerbwirkungszahl  $\beta_K$  und deren konsequenter Verwendung entsprechend ihrer eigentlichen Bedeutung bei Bauteilen mit technischen Kerben können Missverständnisse und

Fehldeutungen vermieden und damit die Verlässlichkeit der Bauteilauslegung erhöht werden. Die Kerbwirkungszahl  $\beta_K$  hat den Charakter eines Einflussfaktors, der aussagt, um welchen Anteil die Schwingfestigkeitsamplitude  $\sigma_A$  infolge Kerbeinfluss reduziert wird. Sie ist aber kein Maß für die Überhöhung der Spannungsamplitude im Kerbgrund, denn auch diese Spannungsüberhöhung wird korrekterweise mit der Formzahl  $\alpha_K$  erfasst.

Die auf dieser Grundlage formulierten Festigkeitsbedingungen (8) und (9) für schwingend beanspruchte Bauteile

mit Kerbwirkung sind in sich widerspruchsfrei, und sie stehen auch im Einklang mit den Gesetzen der Mechanik, den Regeln der Festigkeitslehre und den Erkenntnissen der Werkstoffmechanik. Dass die Spannungskonzentration bei örtlicher plastischer Verformung im Kerbgrund durch den Abbau von Spannungsspitzen vermindert wird, die Spannungsüberhöhung also streng genommen nur bei linear-elastischem Werkstoffverhalten mit der Formzahl  $\alpha_K$  erfasst wird, ändert grundsätzlich nichts an dieser Aussage.

### Literatur

- [1] Zammert, W.-U.: Betriebsfestigkeitsrechnung. Friedr. Vieweg & Sohn, Braunschweig, 1985
- [2] Haibach, E.: Betriebsfestigkeit. Springer-Verlag Berlin, 3. Aufl., 2006
- [3] Grothe, K.-H., Feldhusen, J. (Hrsg.): Dubbel Taschenbuch für den Maschinenbau. Springer Verlag Berlin, 23. Aufl., 2011
- [4] FKM-Richtlinie: Rechnerischer Festigkeitsnachweis für Maschinenbauteile. Forschungskuratorium Maschinenbau (FKM), VDMA-Verlag Frankfurt/Main, 6. Aufl., 2012

- [5] DIN 743:2012: Tragfähigkeitsberechnung von Wellen und Achsen, Teile 1 – 4 sowie Beiblätter 1 und 2. Deutsches Institut für Normung e. V. Berlin, 2012
- [6] Neuber, H.: Kerbspannungslehre. Springer-Verlag Berlin, 4. Aufl., 2001
- [7] Wellinger, K.; Dietmann, H.: Festigkeitsberechnung. Alfred Kröner Verlag Stuttgart, 3. Aufl., 1976
- [8] Dietmann, H.: Festigkeitsberechnung bei mehrachsiger Schwingbeanspruchung. Konstruktion 25(1973)5, S. 181–189
- [9] Issler, L.; Ruoss, H.; Häfele, P.: Festigkeitslehre –

- Grundlagen. Springer-Verlag Berlin, 2. Aufl., 2003
- [10] Petersen, C.: Die Vorgänge im zügig und wechselnd beanspruchten Metallgefüge. Teile 3 und 4. Z. Metallkunde 42(1951), S. 161–170; 43(1952), S. 429–433
- [11] Siebel, E.; Bussmann, K. H.: Das Kerbproblem bei schwingender Beanspruchung. Technik 3(1948), S. 249–252
- [12] Thum, A.; Buchmann, W.: Dauerfestigkeit und Konstruktion. VDI-Verlag Berlin, 1932

**Danksagung:** Der Verfasser dankt seinem Kollegen Prof. Dr. sc. techn. Markus Henne vom IWK für kritisch-anregende Diskussion des Themas.

Wir bringen unsere Fachkompetenzen als professionelle Partner der Industrie kundenspezifisch und bedürfnisorientiert in Ihre Projekte ein, sei es in Form von Beratungen, Studien, Entwürfen, Konstruktions-, Berechnungs-, Prüfaufträgen oder experimentellen Untersuchungen in unseren Labors.

**DAS BINDEGLIED ZWISCHEN WISSENSCHAFT UND INDUSTRIE**